### Não-linearidades não-polinomiais

Como mostrado neste trabalho, além dos métodos de integração numérica, alguns métodos aproximados tais como o HBM e os métodos de perturbação permitem resolver problemas de valor inicial associados a equações diferenciais não-lineares, estes últimos tendo a vantagem de fornecer uma solução analítica.

A maior parte da literatura de sistemas dinâmicos não-lineares trata de equações com não-linearidades polinomiais, em particular, sistemas com não-linearidades quadráticas ou cúbicas, (Nayfeh (1979), [24]). Assim, a maior parte dos métodos aproximados são desenvolvidos tendo em mente estes tipos de não-linearidades. Entretanto, um crescente número de pesquisas nos últimos anos tem sido dedicado ao estudo de sistemas com outros tipos de não-linearidade, de forma destacada para problemas com não-linearidades fracionárias, que foram analisados por métodos numéricos, métodos de perturbação e HBM, entre outras técnicas.

Em uma série de artigos, Mickens ([57], [58], [89]) estudou vários exemplos de equações diferenciais com não-linearidades fracionárias. Em particular osciladores envolvendo um único termo não-linear do tipo

$$\ddot{x} + sgn(x)|x|^{1/(2n+1)} = 0$$

onde n é um inteiro positivo e a sgn é a função definida como

$$sgn(x) = \frac{x}{|x|}, \ x \neq 0$$

$$sgn(x) = 0, \quad x = 0$$

Este tipo de oscilador também foi estudado recentemente por Swamy et al (2003), [64], van Horssen (2003), [90], e Awrejcewicz e Andrianov (2003), [91], que deram atenção especial ao caso limite

$$\ddot{x} + sgn(x) = 0$$

que ocorre quando  $n \to \infty$ . Uma solução exata para este problema foi obtida

por Lipscom e Mickens (1994), [92], Philipchuk (1999), [93] e Potti et al (1999), [94], entre outros.

Hu e Xiong (2003), [95] analisaram um oscilador cujo potencial tem a forma

$$V(x) = V_0 x^{(2m+2)/(2n+1)}$$

Gottlieb (2003), [1], estudou osciladores com um único termo não-linear. Além do caso acima, ele considerou a não-linearidade como uma potência fracionária mais geral. Para vários casos particulares ele obteve a expressão exata para a freqüência da resposta em termos de funções Beta e Gama, e soluções aproximadas com o HBM e comparou a aplicabilidade dos dois tipos de soluções.

Recentemente, Hu (2006), [96], estudou a solução de um oscilador com nãolinearidade fracionária por um método iterativo e Ramos (2007), [97], investigou a mesma classe de problemas usando um método denominado "piecewiselinearized" baseado em expansões em série de Taylor da equação diferencial não-linear. Entretanto, nestas referências, várias manipulações algébricas são necessárias para resolver cada problema particular.

No capítulo anterior, dois métodos simples e eficientes foram apresentados. Embora possam apresentar algumas desvantagens em relação ao HBM, por exemplo, eles não se limitam apenas aos casos em que a não-linearidade é polinomial, mas permitem resolver problemas com não-linearidades fracionárias ou de qualquer outro tipo, sem a necessidade de alterar suas metodologias, como será mostrado a seguir com alguns exemplos.

## 7.1 Sistema dinâmico com não-linearidade fracionária

Seja a seguinte equação,

$$\ddot{x} + sgn(x)|x|^q = 0 \tag{7-1}$$

onde q pode assumir qualquer valor real.

O termo sgn(x) em (7-1) faz com que a resposta se comporte qualitativamente igual às respostas de problemas com não-linearidade polinomial ímpar, mesmo quando q for par, como mostra a figura 7.1, que exibe a função  $sgn(x)|x|^q$  para diferentes valores de q.

A energia potencial do problema (7-1) é exibida na figura 7.2, para diferentes valores de q.

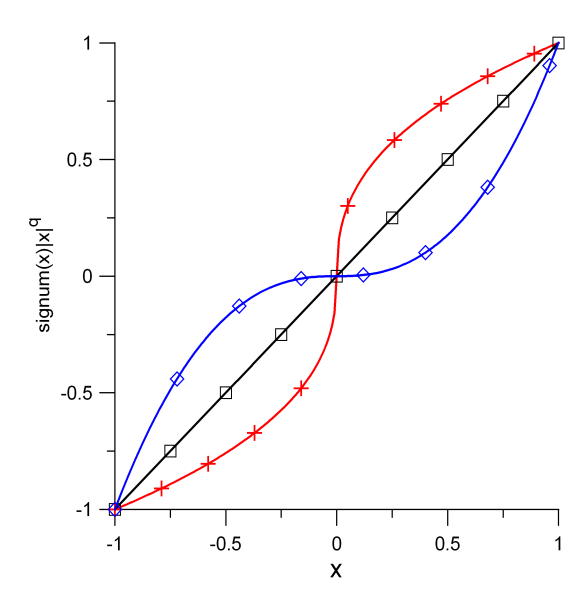


Figura 7.1: Simetria no campo de deslocamentos.  $\square$ , q = 1; +, q < 1;  $\lozenge$  q > 1.

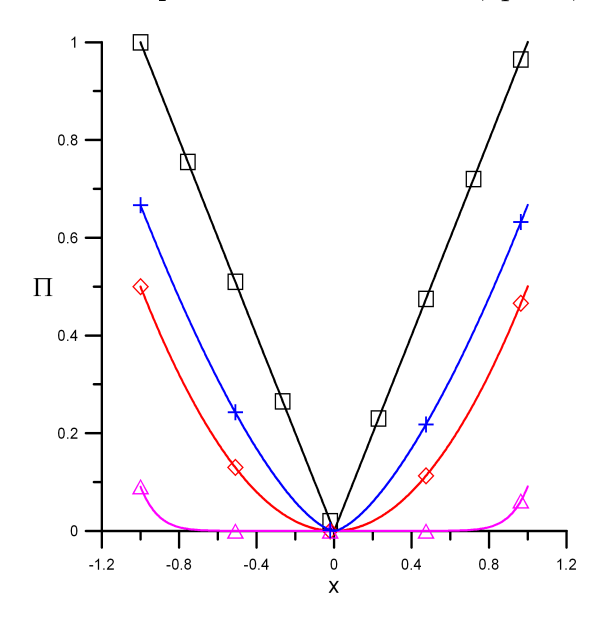


Figura 7.2: Energia potencial.  $\square$ , q=0;+, q=0,5;  $\Diamond$ , q=1;  $\triangle$ , q=10.

O seguinte problema com não-linearidade fracionária foi analisado por Gottlieb (2003), [1].

$$\ddot{x} + sgn(x) |x|^{\frac{\alpha}{\beta}} = 0 \tag{7-2}$$

Escrevendo a solução aproximada de (7-2) em série de Taylor, tém-se,

$$x(t) = x(t_0) + \frac{dx}{dt} \bigg|_{t_0} (t - t_0) + \frac{1}{2!} \frac{d^2x}{dt^2} \bigg|_{t_0} (t - t_0)^2 + \frac{1}{3!} \frac{d^3x}{dt^3} \bigg|_{t_0} (t - t_0)^3 + \dots$$
 (7-3)

e utilizando como centro da série o instante inicial, tem-se para (7-3)

$$x(t) = x_0 + v_0 t - \frac{1}{2} sgn(x) |x|^{\frac{\alpha}{\beta}} t^2 - \frac{1}{6} \frac{dsgn(x)}{dt} |x|^{\frac{\alpha}{\beta}} t^3 + \dots$$
 (7-4)

Ao se utilizar a propriedade de simetria do problema (x(T/4) = 0), as raízes da equação resultante correspondem a um quarto de período e permitem obter a freqüência da solução ao considerar que  $T = 2\pi/\omega$ .

Com uma aproximação para os deslocamentos contendo termos emt até a potência 2 em (7-4) e considerando como condições iniciais um deslocamento  $x_0$  e uma velocidade nula, obtém-se para a freqüência  $\omega$ ,

$$\omega = \frac{\pi}{4x_0} \sqrt{2|x_0|}^{1 + \frac{\alpha}{\beta}} \tag{7-5}$$

Considerando os termos até  $t^3$  em (7-4) obtém-se,

$$\omega = \frac{\pi}{12} \left( \frac{\sqrt[3]{6a}}{x_0} + \frac{6^{\frac{2}{3}}}{\sqrt[3]{a}} |x_0|^{\frac{\alpha}{\beta}} \right)$$
 (7-6)

sendo

$$a = x_0^2 |x_0^{\frac{\alpha}{\beta}}| \sqrt{-6 \frac{|x_0^{\frac{\alpha}{\beta}}|}{x_0}}$$

Gottlieb, [1], comparou a sua aproximação de primeira ordem com a aproximação de primeira ordem proposta por Mickens (2001), [57], para diversos valores de  $\alpha$  e  $\beta$  utilizando como condição inicial  $x_0 = 1$ . Para  $x_0 = 1$ , (7-5) fornece sempre como resultado  $\omega = \pi/(2\sqrt{2}) \cong 1,11$ 

Na tabela 7.1 comparam-se os resultados obtidos para  $\omega$  com a solução aproximada escrita em série de Taylor e os resultados apresentados por Gottlieb, [1], para diversos valores de  $\alpha$  e  $\beta$ . Na terceira e quarta colunas temse, respectivamente para a freqüência  $\omega$ , os resultados exatos e aproximados apresentados por Gottlieb. Em sua aproximação, ele utilizou o HBM com uma solução de primeira ordem. Os resultados aproximados obtidos por Gottlieb são mais precisos que os obtidos por Mickens, [57], com o HBM após manipular a equação, de forma a tornar a não-linearidade uma potência inteira. Já nas demais colunas, tem-se as freqüências  $\omega_i$  obtidas com o método de Taylor onde o índice i indica o número de termos utilizados na aproximação.

Para  $\alpha = 4$ ,  $\beta = 3$ ,  $v_0 = 0$  e assumindo que  $x_0$  seja sempre dado por um valor positivo, se obtém, a partir de (7-4), a seguinte relação freqüência-amplitude:

		$\omega$				
				Taylor - n° de termos - $\omega_i$		
$\alpha$	$\beta$	exato	[1]	3	4	5
3	4	1,024957	1,025674 (0,1%)	1,026172 (0,1%)	1,026172	1,025261
5	7	1,028660	$1,029613 \ (0,1\%)$	$1,031161 \ (0,2\%)$	1,030068	1,029017
2	3	1,033652	$1,034982 \ (0,1\%)$	1,037605 (0,4%)	1,035324	1,034081
3	5	1,040749	$1,042734 \ (0,2\%)$	$1,046260 \ (0,5\%)$	1,042774	1,041280
3	7	1,059596	$1,064045 \ (0,4\%)$	1,066857 (0,7%)	1,062224	1,060339
1	2	1,051637	$1,054910 \ (0,3\%)$	$1,058540 \ (0,7\%)$	1,054086	1,052305
1	3	1,070451	$1,076845 \ (0,6\%)$	$1,077433 \ (0,6\%)$	1,073094	1,071238
1	4	1,080181	$1,088681 \ (0,8\%)$	1,086257 (0,6%)	1,082587	1,080935
1	5	1,086126	$1,096092 \ (0,9\%)$	$1,091378 \ (0,5\%)$	1,088264	1,086816
1	6	1,090133	1,101695 (1,1%)	$1,094725 \ (0,4\%)$	1,092036	1,090760
1	7	1,093018	1,104867 (1,1%)	$1,097083 \ (0,4\%)$	1,094725	1,093588
1	8	1,095194	1,107679 (1,1%)	1,098835 (0,3%)	1,096737	1,095715
1	9	1,096894	$1,109890 \ (1,2\%)$	$1,100188 \ (0,3\%)$	1,098300	1,097373
1	10	1,098258	1,111675 (1,2%)	1,101265 (0,3%)	1,099549	1,098700
1	11	1,099377	1,113145 (1,2%)	$1,102142 \ (0,2\%)$	1,100570	1,099788

Tabela 7.1: Resultados obtidos com o método de Taylor para  $x_0 = 1$  e diferentes não-linearidades e aproximações, comparados com os apresentados por Gottlieb [1].

$$x_0 - \frac{\pi^2}{8\omega^2} |x_0|^{4/3} + \frac{\pi^4}{288\omega^4} |x_0|^{5/3} - \frac{7\pi^6}{103680\omega^6} |x_0|^2 = 0$$
 (7-7)

As figuras 7.3(a) e 7.3(b) exibem as curvas freqüência-deslocamento inicial, obtidas com a eq. (7-5), com a aproximação de quatro termos, eq. (7-7), e com integração numérica. Pode-se ver que a solução com quatro termos já apresenta resultados precisos até valores bastante elevados  $\text{de}x_0$ . É interessante observar que para expoentes fracionários menores que 1, a freqüência da resposta diminui à medida que o deslocamento inicial aumenta. Quando a não-linearidade é maior que 1, a freqüência cresce ao se aumentar o deslocamento. Os resultados mostram que o método de Taylor leva a soluções analíticas bastante precisas para a relação freqüência-amplitude com um número pequeno de termos.

Já com o FT, a seguinte solução harmônica,

$$x(t) = a_1 \cos \omega t + a_3 \cos 3\omega t + a_5 \cos 5\omega t \tag{7-8}$$

pode ser obtida seguindo a metodologia apresentada anteriormente ou simplesmente igualando os termos de mesma potência em t da série de Taylor

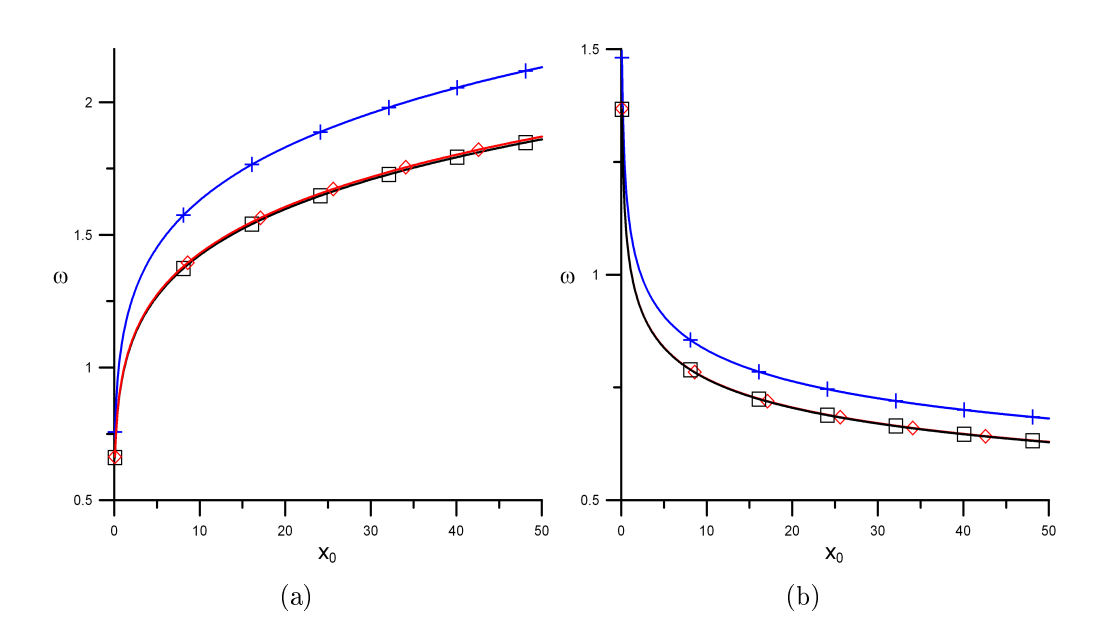


Figura 7.3: Curva freqüência-deslocamento inicial.  $\square$ , RK; +, dois termos, eq. (7-5);  $\diamondsuit$ , quatro termos, eq. (7-7): (a)  $\ddot{x} + sgn(x)|x|^{4/3} = 0$ ; (b)  $\ddot{x} + sgn(x)|x|^{3/4} = 0$ .

gerada a partir de (7-8) com a solução (7-4). Então, escrevendo (7-8) em série de Taylor e igualando os termos de mesma potência em t com os de (7-4), obtém-se quatro equações que, considerando que o deslocamento inicial seja sempre positivo, assumem a seguinte forma

$$a_1 + a_3 + a_5 = |x_0|$$

$$\omega^2(a_1 + 9a_3 + 25a_5) = |x_0|^{\alpha/\beta}$$

$$\omega^4(a_1 + 81a_3 + 625a_5) = \frac{\alpha}{\beta |x_0|} (|x_0|^{\alpha/\beta})^2$$

$$\omega^6(a_1 + 729a_3 - 15625a_5) = \frac{\alpha}{\beta^2} (4\alpha - 3\beta) ||x_0|^{(3\alpha - 2\beta)/\beta}|$$

as primeiras três equações são utilizadas para determinação das amplitudes e a última, para determinação de  $\omega$ . Estas equações conduzem à seguinte relação freqüência-deslocamento quando  $\alpha=4$  e  $\beta=3$ :

$$-28|x_0|^2 = -2025x_0\omega^6 + 2331\omega^4|x_0|^{4/3} - 420|x_0|^{5/3}\omega^2$$
 (7-9)

onde o valor de  $\omega$  encontrado é um pouco mais afastado da solução exata do que o obtido a partir da eq. (7-7), como pode-se ver na tabela 7.2, que compara várias freqüências, obtidas com o FT utilizando um número crescente de harmônicos e a solução exata.

A figura 7.4 mostra as curvas freqüência da resposta versus o parâmetro  $\alpha/\beta$ , relacionado à não-linearidade do sistema, para duas condições iniciais de

		$\omega$				
		FT - n° de termos				
$\alpha$	$\beta$	exato	3	4	5	9
3	4	1,024957	1,019216 (-0,6%)	1,021082	1,022102	1,023682
5	7	1,028660	1,021909 (-0,7%)	1,024076	1,025268	1,027127
2	3	$1,\!033652$	1,025477 (-0.8%)	1,028059	1,029489	1,031743
3	5	1,040749	1,030432 (-1,0%)	1,033617	1,035397	1,038243
3	7	1,059596	1,042954 (-1,6%)	1,047793	1,050563	1,055140
1	2	1,051637	1,037775 (-1,3%)	1,041908	1,044251	1,048070
1	3	$1,\!070451$	1,049775 (-1,9%)	1,055589	1,058957	1,064622
1	4	1,080181	1,055664 (-2,3%)	1,062360	1,066278	1,072963
1	5	1,086126	1,059162 (-2,5%)	1,066399	1,070656	1,077985
1	6	1,090133	$1,061480 \ (-2,6\%)$	1,069081	1,073570	1,081338
1	7	1,093018	1,063129 (-2,7%)	1,070992	1,075647	1,083736
1	8	1,095194	1,064361 (-2.8%)	1,072423	1,077204	1,085535
1	9	1,096894	1,065318 (-2,9%)	1,073533	1,078414	1,086936
1	10	1,098258	1,066081 (-2,9%)	1,074421	1,079381	1,088056
1	11	1,099377	1,066705 (-3,0%)	1,075147	1,080171	1,088974

Tabela 7.2: Resultados obtidos com o FT para diferentes aproximações tendo  $x_0 = 1$ , comparados a solução exata.

deslocamento distintas. Pode-se ver que, ao se aumentar a relação $\alpha/\beta$ , quando  $x_0 < 1$ , a freqüência da resposta diminui, enquanto que, quando  $x_0 > 1$ , a freqüência da resposta aumenta ao se aumentar  $\alpha/\beta$ .

Observa-se que os resultados obtidos com o FT fornecem resultados coincidentes com o da integração numérica para todos os valores de  $\alpha/\beta$  aqui analisados.

## **7.1.1** $\ddot{x} + sgn(x) = 0$

Um caso partical do problema (7-2) é

$$\ddot{x} + sqn(x) = 0 \tag{7-10}$$

e recentemente foi estudado por Beléndez et all (2007 e 2008) [8], [62], que utilizaram o método de perturbação com homotopia de He (HPM), [59].

Escrevendo a solução de (7-10) em série de Taylor, se obtém

$$x(t) = x_0 - \frac{1}{2}sgn(x_0)t^2$$
 (7-11)

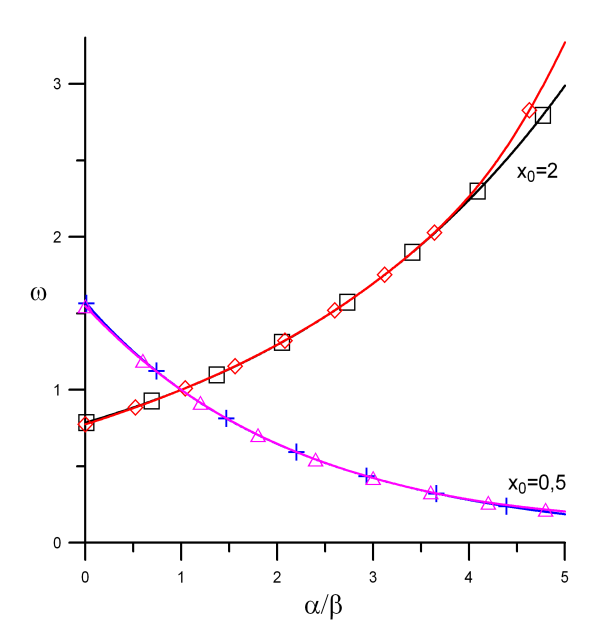


Figura 7.4: Influência da não-linearidade para diferentes deslocamentos iniciais:  $\Box$ , RK e  $x_0=2$ ;  $\Diamond$ , FT com sete harmônicos e  $x_0=2$ ; +, RK e  $x_0=0,5$ ;  $\triangle$ , FT com sete harmônicos e  $x_0=0,5$ .

sendo que os termos de ordem mais alta em t são todos nulos.

De acordo com Beléndez et all, [62], a solução exata de (7-10) é dada por

$$x(t) = \begin{cases} x_0 - \frac{t^2}{2} & 0 \le t \le \frac{T}{4} \\ \frac{t^2}{2} - 2\sqrt{2x_0}t + 3x_0 & \frac{T}{4} \le t \le \frac{3T}{4} \\ -\frac{t^2}{2} + 4\sqrt{2x_0}t - 15x_0 & \frac{3T}{4} \le t \le T \end{cases}$$
 (7-12)

o que revela que a solução (7-11) é a solução exata no primeiro quarto de período, justificando assim que os termos de ordem superior emt sejam nulos.

Como (7-11) é exata no primeiro quarto de período, ao se aplicar as propriedades de simetria do problema (x(T/4)=0), a freqüência exata da resposta periodica é obtida. Desta forma tem-se

$$\omega = \frac{\pi}{2\sqrt{2|x_0|}} \approx \frac{1,110721}{\sqrt{|x_0|}} \tag{7-13}$$

Beléndez et all, [62], aplicando o HPM, obtiveram a seguinte aproximação de terceira ordem:

$$x(t) = 1,03216x_0 \cos \omega_3 t - 0,038333x_0 \cos 3\omega_3 t + 0,008251x_0 \cos 5\omega_3 t - 0,003006x_0 \cos 7\omega_3 t + 0,001414x_0 \cos 9\omega_3 t$$

$$(7-14)$$

onde  $\omega_3 = 1,111358/\sqrt{x_0}$ .

Soluções periódicas podem ser obtidas aplicando o método de FT. Utilizando uma solução com o mesmo número de harmônicos que em (7-14), se obtém as seguintes equações

$$x_{0} = a_{1} + a_{2} + a_{3} + a_{4} + a_{5}$$

$$\frac{1}{2} sgn(x_{0}) = \left(\frac{1}{2}a_{1} + \frac{9}{2}a_{2} + \frac{25}{2}a_{3} + \frac{49}{2}a_{4} + \frac{81}{2}a_{5}\right)\omega^{2}$$

$$0 = \left(\frac{1}{24}a_{1} + \frac{27}{8}a_{2} + \frac{625}{24}a_{3} + \frac{2401}{24}a_{4} + \frac{2187}{8}a_{5}\right)\omega^{4}$$

$$0 = \left(\frac{1}{720}a_{1} + \frac{81}{80}a_{2} + \frac{3125}{144}a_{3} + \frac{117649}{720}a_{4} + \frac{59049}{80}a_{5}\right)\omega^{6}$$

$$0 = \left(\frac{1}{40320}a_{1} + \frac{729}{4480}a_{2} + \frac{78125}{8064}a_{3} + \frac{823543}{5760}a_{4} + \frac{4782969}{4480}a_{5}\right)\omega^{8}$$

$$0 = (a_{1} + 59049a_{2} + 9765625a_{3} + 282475249a_{4} + 3486784401a_{5})\omega^{10}$$

Resolvendo as primeiras equações em (7-15) se obtém as amplitudes dos harmônicos. Assim da última das eqs. (7-15) se obtém para a freqüência

$$\omega = \frac{1,088056}{\sqrt{|x_0|}}\tag{7-16}$$

e consequentemente a solução periódica torna-se

$$x(t) = 1,023126x_0\cos\omega t - 0,025262x_0\cos3\omega t + 0,002339x_0\cos5\omega t - 0,000213x_0\cos7\omega t + (7-17)$$

$$0,000011x_0\cos9\omega t$$

onde  $\omega$  é dado por (7-16)

A solução (7-17) não é coincidente com a resposta obtida através de integração numérica porque a aproximação (7-16) para a freqüência possui um erro de 2,04%. Utilizando a solução exata para a freqüência, eq. (7-13), a solução periódica torna-se

$$x(t) = 1,030725x_0\cos\omega t - 0,035115x_0\cos3\omega t + 0,00504x_0\cos5\omega t - 0,000704x_0\cos7\omega t + 0,000054x_0\cos9\omega t$$

$$(7-18)$$

e passa a ser coincidente com a solução obtida com integração numérica, como mostra a figura 7.5.

A medida que mais harmônicos são utilizados na solução, a aproximação para a freqüência obtida com o método de Fourier-Taylor tende ao valor exato

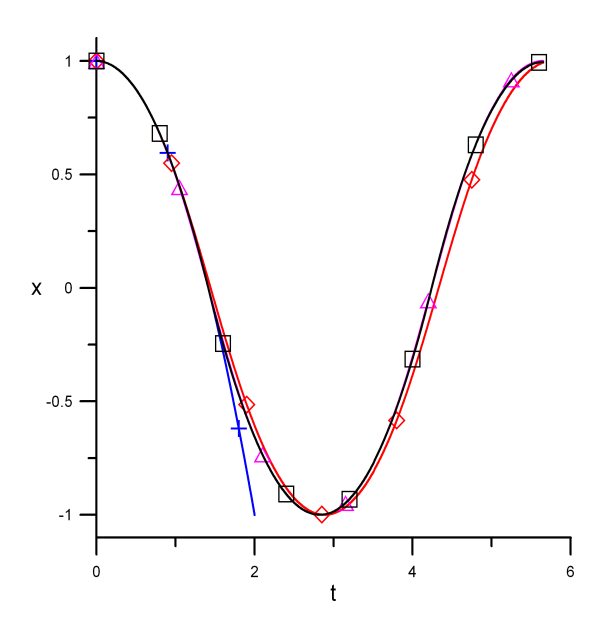


Figura 7.5: Solução no tempo do problema  $\ddot{x} + sgn(x) = 0$ :  $\square$ , RK; +, eq. (7-11);  $\lozenge$ , eq. (7-17);  $\triangle$ , eq. (7-18).

obtido com o método de Taylor, eq. (7-13), como mostrado na tabela 7.3.

n° de harmônicos	$\omega$	erro (%)
1	$1/\sqrt{x_0}$	9,97
2	$1,054092/\sqrt{x_0}$	5,1
3	$1,072898/\sqrt{x_0}$	$^{3,4}$
4	$1,082367/\sqrt{x_0}$	$2,\!55$
5	$1,088056/\sqrt{x_0}$	2,04
7	$1,094553/\sqrt{x_0}$	1,46
10	$1,099419/\sqrt{x_0}$	1,01
20	$1,105081/\sqrt{x_0}$	$0,\!51$
40	$1,107904/\sqrt{x_0}$	$0,\!25$

Tabela 7.3: Resultados obtidos com o método de Fourier Taylor e o erro em relação a solução exata, eq. (7-13).

### 7.2 Pêndulo plano

 ${\bf A}$ equação que rege o movimento do pêndulo plano em vibração livre é dada por

$$\ddot{\theta} + \frac{g}{l}\sin\theta = 0\tag{7-19}$$

onde g é a aceleração, l é o comprimento do pêndulo e  $\theta$ , o deslocamento ângular.

Em geral, para se obter uma solução analítica deste problema, expande-se  $\sin \theta$  em séries de Taylor, retendo termos em  $\theta$  até a potência 3 ou 5, o que limita a validade da solução a pequenos valores de  $\theta_0$  ou se escreve a solução em termos de funções elípticas.

Escrevendo a solução de (7-19) em série de Taylor, tem-se a seguinte solução para a condição inicial  $\dot{\theta}(0) = 0$ ,

$$\theta = \theta_0 - (\frac{g}{2l}\sin\theta_0)t^2 + \frac{g^2}{24l^2}(\cos\theta_0\sin\theta_0)t^4 + \dots$$
 (7-20)

Substituindo t=T/4 em (7-20), sendo  $T=2\pi/\omega$ , obtém-se a seguinte relação freqüência-amplitude,

$$\omega = \frac{\sqrt{3}\pi}{12} \sqrt{\frac{g}{\theta_0 l} (3\sin\theta_0 \pm \sqrt{(9(\sin\theta_0)^2 - 6\theta_0\cos\theta_0\sin\theta_0)})}$$
 (7-21)

e considerando apenas os dois primeiros termos em (7-20), chega-se a

$$\omega = \frac{\pi}{4\theta_0} \sqrt{2\theta_0 \frac{g}{l} \sin \theta_0} \tag{7-22}$$

Utilizando o FT com a seguinte solução aproximada,

$$\theta(t) = c_1 \cos \omega t + c_3 \cos 3\omega t + c_5 \cos 5\omega t$$

obtém-se os seguintes coeficientes:

$$c_{1} = \frac{1}{192l^{2}\omega^{4}}(-34l\omega^{2}g + g^{2}\cos\theta_{0})\sin\theta_{0} + \frac{75}{64}\theta_{0}$$

$$c_{3} = -\frac{1}{128l^{2}\omega^{4}}(-26l\omega^{2}g + g^{2}\cos\theta_{0})\sin\theta_{0} - \frac{25}{128}\theta_{0}$$

$$c_{5} = \frac{1}{384l^{2}\omega^{4}}(-10l\omega^{2}g + g^{2}\cos\theta_{0})\sin\theta_{0} + \frac{3}{128}\theta_{0}$$

e a seguinte relação freqüência-deslocamento

$$-\left(\frac{g}{l}\right)^3 (4(\cos\theta_0)^2 - 3)\sin\theta_0 = -225\omega^6\theta_0 + 259\frac{g}{l}\omega^4\sin\theta_0 - 35\left(\frac{g}{l}\right)^2\omega^2\cos\theta_0\sin\theta_0$$

$$(7-23)$$

A figura 7.6 apresenta as curvas freqüência-deslocamento obtidas a partir das relações (7-22), (7-21) e (7-23), sendo estas comparadas com os resultados

da integração numérica. Pode-se ver que poucos termos são suficientes para apresentar bons resultados, para todos os valores possíveis de  $\theta_0$ . Verifica-se que a freqüência natural decresce a medida que  $|\theta_0|$  aumenta e torna-se nula em  $\theta_0 = \pm \pi$ , que corresponde à posição do pêndulo invertido (posição de equilíbrio instável).

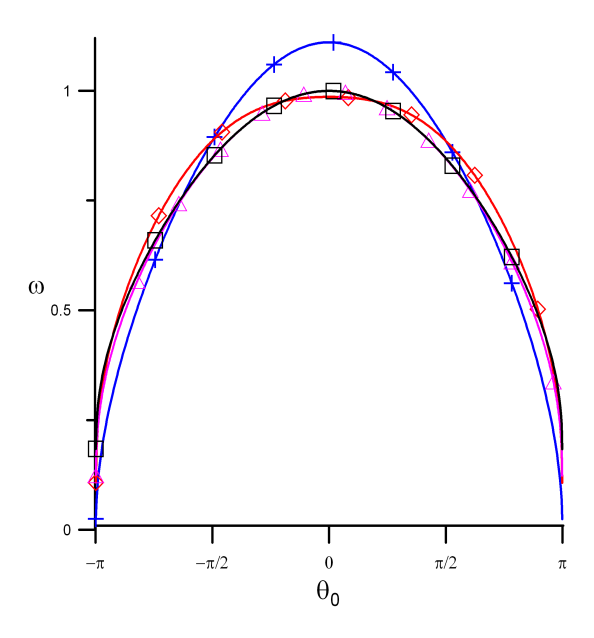


Figura 7.6: Curva freqüência-deslocamento inicial do problema  $\ddot{x} + \sin x = 0$ :  $\Box$ , RK; +, eq. (7-22);  $\Diamond$ , eq. (7-21);  $\triangle$ , eq. (7-23).

Verifica-se em (7-23) que, para um dado  $\theta_0$ , a freqüência é função de potências de g/l. Na figura 7.7 é apresentada a influência da relação g/l sobre a freqüência da resposta para dois valores de  $\theta_0$  ( $\theta_0 = 85, 7^{\circ}$  e  $\theta_0 = 5^{\circ}$ ). Quanto mais curto for o pêndulo, maior será sua freqüência natural não-linear. Nota-se que, independente dos valores de  $\theta_0$  e g/l, os dois métodos propostos fornecem resultados bastante precisos.

A seguir, na figura 7.8 são apresentadas algumas trajetórias no plano de fase obtidas com o FT e com integração numérica, considerando  $\theta_0 = 86^{\circ}$  e  $\theta_0 = 170^{\circ}$ . Nota-se a boa concordância com a solução numérica mesmo para grandes valores de  $\theta_0$ , próximos da posição invertida, quando se tem um alto grau de não-linearidade.

#### 7.3 Pêndulo Elíptico

O pêndulo elíptico consiste de um pêndulo preso a uma massa livre para se mover na horizontal, conforme mostra a figura 7.9. O comportamento caótico do pêndulo elíptico foi estudado por Ge e Lin (2007), [65], entre outros.

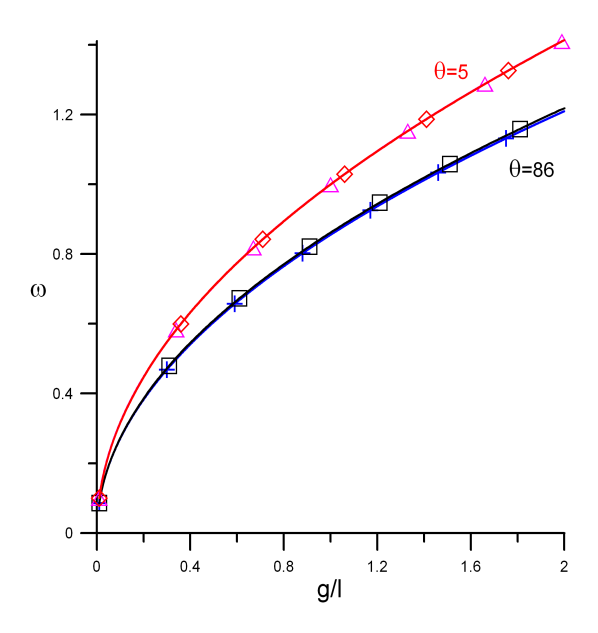


Figura 7.7: Curva freqüência-g/l:  $\square$ , RK e  $\theta_0 = 85, 7^\circ$ ; +, Taylor com 5 termos;  $\lozenge$ , RK  $\theta_0 = 5^\circ$ ;  $\triangle$ , FT com cinco harmônicos.

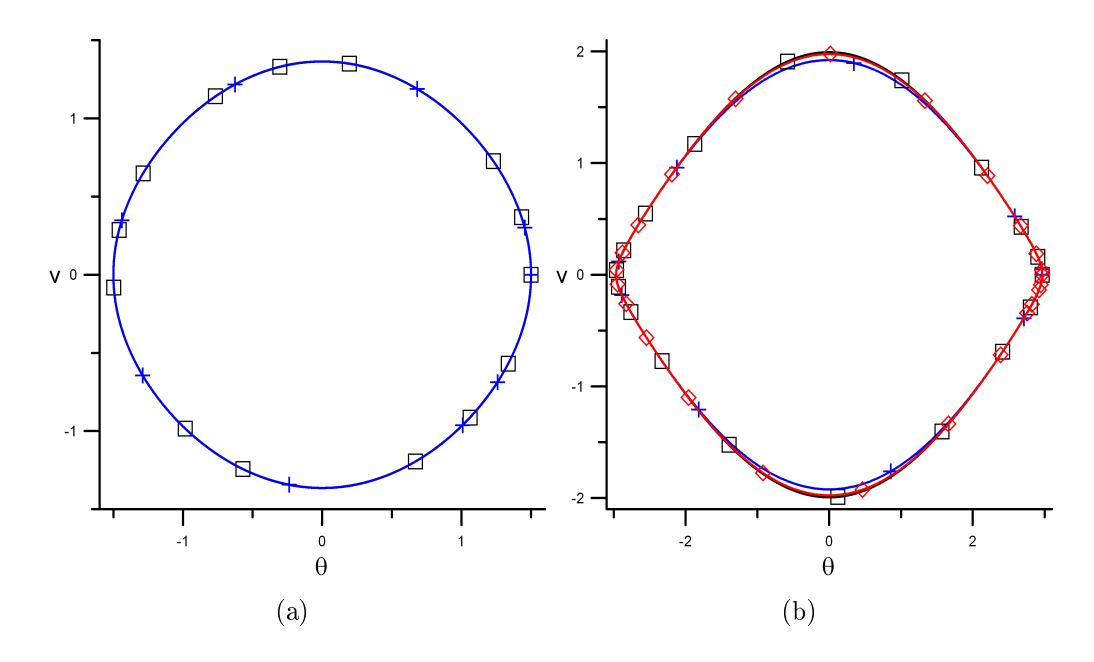


Figura 7.8: Respostas no plano de fase do problema  $\ddot{x} + \sin x = 0$ : (a)  $\theta_0 = 86^\circ$ ,  $\Box$ , RK; +, FT com cinco harmônicos; (b)  $\theta_0 = 170^\circ$ ,  $\Box$ , RK; +, FT com oito harmônicos;  $\Diamond$ , FT com doze harmônicos.

As equações de movimento deste tipo de estrutura permitem demonstrar a aplicação dos métodos de Taylor e Fourier-Taylor para uma não-linearidade envolvendo funções trigonométricas um pouco mais complexa que a presente no pêndulo simples e, também, a aplicação em um exemplo contendo dois graus de liberdade.

As energias cinética e potencial do pêndulo são:

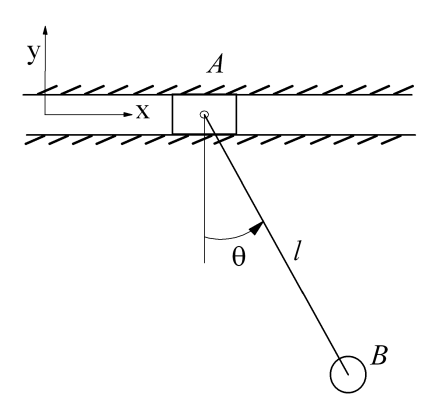


Figura 7.9: Pêndulo elíptico.

$$\overline{T} = \frac{1}{2} (m_A \dot{x}_A^2 + m_B (\dot{x}_B^2 + \dot{y}_B^2))$$

$$\Pi = m_B g l (1 - \cos \theta)$$
(7-24)

sendo as coordenadas da massa do pêndulo dadas por:

$$x_B = x_A + l\sin\theta$$

$$y_B = -l\cos\theta$$
(7-25)

Substituindo (7-25) em (7-24) e aplicando o princípio de Hamilton, obtêmse as equações de movimento

$$-\frac{d}{dt}\frac{\partial L}{\partial \dot{x}_A} = 0$$

$$-\frac{d}{dt}\frac{\partial L}{\partial \dot{\theta}} + \frac{\partial L}{\partial \theta}$$
(7-26)

onde

$$L = \overline{T} - \Pi$$

isto é,

$$(m_A + m_B)\ddot{x}_A - m_B l\dot{\theta}^2 \sin\theta + m_B l\ddot{\theta} \cos\theta = 0$$

$$\ddot{\theta} + \frac{g}{l}\sin\theta + \frac{\ddot{x}_A}{l}\cos\theta = 0$$
(7-27)

Manipulando as eqs. de movimento (7-27) de forma a desacoplar as acelerações, elas tornam-se,

$$(m_A + m_B(1 - (\cos \theta)^2))\ddot{x}_A - m_B \sin \theta (l\dot{\theta}^2 + g\cos \theta) = 0$$
 (7-28)

$$\left(1 - \frac{m_B}{m_A + m_B} (\cos \theta)^2\right) \ddot{\theta} + \frac{g}{l} \sin \theta + \frac{m_B}{m_A + m_B} \dot{\theta}^2 \sin \theta \cos \theta = 0$$
(7-29)

Utilizando o método de Taylor, as soluções aproximadas para os deslocamentos  $x_A(t)$  e  $\theta(t)$  são dadas por duas expansões independentes:

$$x_{A} = x_{0} + v_{0}t + \frac{1}{2!}\ddot{x}_{A}\Big|_{t=0} t^{2} + \frac{1}{3!}\frac{d\ddot{x}_{A}}{dt}\Big|_{t=0} t^{3} + \frac{1}{4!}\frac{d^{2}\ddot{x}_{A}}{dt^{2}}\Big|_{t=0} t^{4} + \dots$$

$$\theta = \theta_{0} + \dot{\theta}_{0}t + \frac{1}{2!}\ddot{\theta}\Big|_{t=0} t^{2} + \frac{1}{3!}\frac{d\ddot{\theta}}{dt}\Big|_{t=0} t^{3} + \frac{1}{4!}\frac{d^{2}\ddot{\theta}}{dt^{2}}\Big|_{t=0} t^{4} + \dots$$
(7-30)

onde  $x_0$  e  $v_0$  são as condições iniciais da massa  $m_A$ , e  $\theta_0$  e  $\dot{\theta}_0$ , as condições iniciais do pêndulo. Os termos  $\ddot{x}_A$  e  $\ddot{\theta}$  são diretamente retirados das eqs. (7-28) e (7-29). Com isso, as séries de potências estão determinadas. Assim tem-se para o deslocamento da massa A para  $v_0 = 0$ ,

$$x_A(t) = x_0 + \frac{gm_2}{2a} (\sin \theta_0 \cos \theta_0) t^2 + \left( -\frac{m_2^3 g^2}{6la^3} \sin \theta_0 (\cos \theta_0)^6 + \frac{1}{24la^3} (-4m_2 g^2 a^2 + 7m_2^2 g^2 a) \sin \theta_0 (\cos \theta_0)^2 + \frac{m_2 g^2}{8la} \sin \theta_0 + \frac{1}{24la^3} (4m_2^3 g^2 - 8m_2^2 g^2 a) \sin \theta_0 (\cos \theta_0)^4 \right) t^4 + \dots$$

$$(7-31)$$

e para o pêndulo, com  $\dot{\theta}_0 = 0$ ,

$$\theta(t) = \theta_0 + \left(-\frac{g}{2l}\sin\theta_0 - \frac{m_2g}{2la}\sin\theta_0(\cos\theta_0)^2\right)t^2 + \left(\frac{m_2{}^3g^2}{6l^2a^3}\sin\theta_0(\cos\theta_0)^7 + \frac{1}{24l^2a^3}(g^2a^3 - 4m_2g^2a^2)\sin\theta_0\cos\theta_0 + \frac{1}{24l^2a^3}(9m_2{}^2g^2a - 4m_2{}^3g^2)\sin\theta_0(\cos\theta_0)^5 + \frac{1}{24l^2a^3}(6m_2g^2a^2 - 8m_2{}^2g^2a)\sin\theta_0(\cos\theta_0)^3\right)t^4 + \dots$$

$$(7-32)$$

onde

$$a = m_1 + m_2(1 - (\cos \theta_0)^2) \tag{7-33}$$

Substituindo  $t = \pi/(2\omega_1)$  em (7-31) e  $t = \pi/(2\omega_2)$  em (7-32) tem-se as equações que permitem se obter as freqüências de cada resposta.

Utilizando uma aproximação com três termos e assumindo que as condições iniciais são (0,0) e  $(\theta_0,0)$ , as seguintes expressões para as freqüências são obtidas:

$$\omega_1 = \frac{\sqrt{3}\pi}{12la\cos\theta_0} \left( lg\cos\theta_0 (-4m_B^2(\cos\theta_0)^4 + 8am_B(\cos\theta_0)^4 + 8am_B($$

$$4a^{2}(\cos\theta_{0})^{2} + 4m_{B}^{2}(\cos\theta_{0})^{6} - 7am_{B}(\cos\theta_{0})^{2} - 3a^{2})$$

$$\omega_{2} = \frac{\sqrt{3}\pi}{12a} \sqrt{\frac{g}{l}} \left( -3a^{2}m_{B}(\sin\theta_{0})^{3} + (3a^{3} + 3m_{B}a^{2})\sin\theta_{0} + \left( \theta_{0}(24a^{3}m_{B}^{3}(\sin\theta_{0})^{7} + (-48a^{3}m_{B}^{3} - 54a^{4}m_{B}^{2})(\sin\theta_{0})^{5} + \left( 36a^{5}m_{B} + 60a^{4}m_{B}^{2} + 24a^{3}m_{B}^{3})(\sin\theta_{0})^{3} - (12a^{5}m_{B} + 6a^{6} + 6a^{4}m_{B}^{2})\sin\theta_{0}\cos\theta_{0} + 9a^{4}m_{B}^{2}(\sin\theta_{0})^{6} - 18(a^{4}m_{B}^{2} + a^{5}m_{B})$$

$$(\sin\theta_{0})^{4} + 9(a^{6} + a^{4}m_{B}^{2} + 2a^{5}m_{B})(\sin\theta_{0})^{2}$$

$$(7-34)$$

$$(7-34)$$

$$(7-34)$$

$$(7-34)$$

$$(7-34)$$

$$(\sin\theta_{0})^{5} + (3a^{3} + 3m_{B}a^{2})\sin\theta_{0} + ($$

sendo a definido em (7-33).

Utilizando o FT, as soluções aproximadas são escritas como

$$x(t) = c_1 \cos \omega_1 t + c_3 \cos 3\omega_1 t + \dots$$
  

$$\theta(t) = d_1 \cos \omega_2 t + d_3 \cos 3\omega_2 t + \dots$$
(7-36)

Utilizando dois harmônicos em cada aproximação de (7-36), as soluções aproximadas tornam-se,

$$x(t) = \left(\frac{m_B g}{8a\omega_1^2}\cos\theta_0\sin\theta_0 + \frac{9}{8}x_A\right)\cos\omega_1 t - \left(\frac{m_B g}{8a\omega_1^2}\cos\theta_0\sin\theta_0 + \frac{1}{8}x_A\right)\cos3\omega_1 t$$

$$\theta(t) = \left(-\frac{m_B g}{8la\omega_2^2}\sin\theta_0(\cos\theta_0)^2 - \frac{g}{8l\omega_2^2}\sin\theta_0 + \frac{9}{8}\theta_0\right)\cos\omega_2 t + \left(\frac{m_B g}{8la\omega_2^2}\sin\theta_0(\cos\theta_0)^2 + \frac{g}{8l\omega_2^2}\sin\theta_0 - \frac{1}{8}\theta_0\right)\cos3\omega_2 t$$

$$(7-37)$$

e as expressões para as freqüências são dadas por

$$\omega_{1} = \frac{1}{a\sqrt{10\cos\theta_{0}}} \sqrt{\frac{g}{l}} (4m_{B}^{2}(\cos\theta_{0})^{6} + (\cos\theta_{0})^{4}(8am_{B} - 4m_{B}^{2}) + (\cos\theta_{0})^{2}(4a^{2} - 7am_{B}) - 3a^{2})^{1/2}$$

$$(\cos\theta_{0})^{2} (4a^{2} - 7am_{B}) - 3a^{2})^{1/2}$$

$$\omega_{2} = \frac{1}{3la} \sqrt{\frac{g}{l\theta_{0}a}} \left( -5(\sin\theta_{0})^{3}a^{2}m_{B} + (5a^{3} + 5m_{B}a^{2})\sin\theta_{0} + (\theta_{0}(36a^{3}m_{B}^{3}(\sin\theta_{0})^{7} + (-72a^{3}m_{B}^{3} - 81a^{4}m_{B}^{2})(\sin\theta_{0})^{5} + (36a^{3}m_{B}^{3} + 54a^{5}m_{B} + 90a^{4}m_{B}^{2})(\sin\theta_{0})^{3} - 9(2a^{5}m_{B} + a^{6} + a^{4}m_{B}^{2})\sin\theta_{0})\cos\theta_{0} + 25(\sin\theta_{0})^{6}a^{4}m_{B}^{2} - 50(a^{4}m_{B}^{2} + a^{6} + a^{4}m_{B}^{2})\sin\theta_{0})\cos\theta_{0} + a^{6}m_{B}^{2} + a^{6}m_{B}^{2}$$

$$a^{5}m_{B})(\sin\theta_{0})^{4} + 25(a^{6} + a^{4}m_{B}^{2} + 2a^{5}m_{B})(\sin\theta_{0})^{2})^{1/2}$$
(7-39)

Nas figuras 7.10(a) e 7.10(b) é possível compreender o comportamento do pêndulo eliptico sujeito a um deslocamento inicial $\theta_0$  e demais condições iniciais nulas. Em 7.10(a), a massa  $m_A$  é 100 vezes maior que a massa  $m_B$  e o pêndulo se comporta de forma semelhante ao pêndulo preso em extremidade fixa da seção anterior. Na figura 7.10(b) a razão entre as massas é 1 e os movimentos de pequena amplitude do pêndulo, apresentam períodos bem menores que em 7.10(a). Também pode-se ver que agora, ao se manter o mesmo número de termos na aproximação, perde-se um pouco da precisão, mas mesmo assim, obtém-se com apenas três termos em Taylor ou dois harmônicos com o FT uma boa aproximação com os resultados da integração numérica.

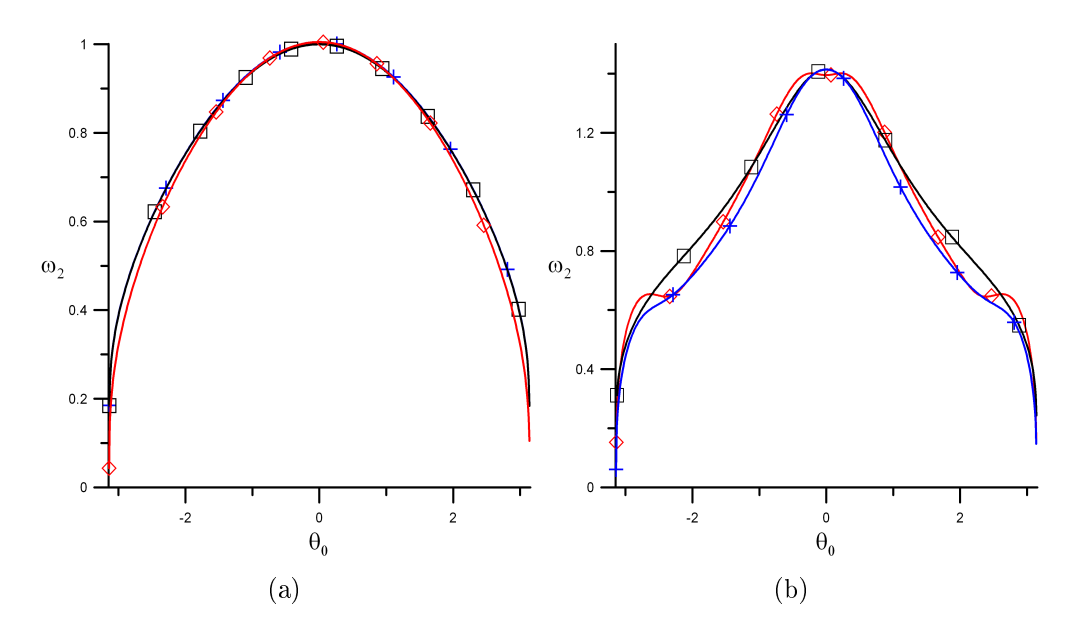


Figura 7.10: Curva  $\omega_2$ - $\theta_0$ : (a)  $m_A = 100 \ m_B = 1$ .  $\square$ , RK - pêndulo 1gl; +, RK - pêndulo 2gl;  $\lozenge$ , FT com dois harmônicos. (b)  $m_A = 1 \ m_B = 1$ .  $\square$ , RK; +, FT com dois harmônicos, eq. (7-39);  $\lozenge$ , Taylor com três termos, eq. (7-35).

# 7.4 Viga com não-linearidades não-polinomiais

A equação da viga com não-linearidades mais completas,

$$10m\ddot{x} + \left(\frac{\pi^8}{800}x^5 - \pi^6x^3 + 200\pi^4x\right) \frac{i}{(x^2\pi^2 - 400)^{5/2}}EI + \frac{40P}{\pi x} \left(EllipticE\{\frac{\pi}{20}csgn(x)x\} - EllipticK\{\frac{\pi}{20}csgn(x)x\}\right) = \frac{40}{\pi}q$$
(7-40)

obtida na seção 2.5, não pode ser resolvida pelos métodos convencionais.

Utilizando o método de Taylor, obtém-se como aproximação,

$$x = x_0 + \frac{2P}{mx_0\pi} \left( EllipticK(\frac{\pi}{20}x_0) - EllipticE(\frac{\pi}{20}x_0) + \frac{iEI}{m(x_0^2\pi^2 - 400)^{5/2}} \left( -10x_0\pi^4 + \frac{\pi^6}{20}x_0^3 - \frac{\pi^8}{16000}x_0^5 \right) + \frac{2q}{m\pi} \right) t^2 + \dots$$
(7-41)

A figura 7.11 exibe a convergência da solução aproximada a medida que mais termos são adicionados em (7-41), sendo estas comparadas com a integração numérica no tempo. Verifica-se uma rápida convergência até t=T/4, o que permite obter uma solução analítica precisa com poucos termos.

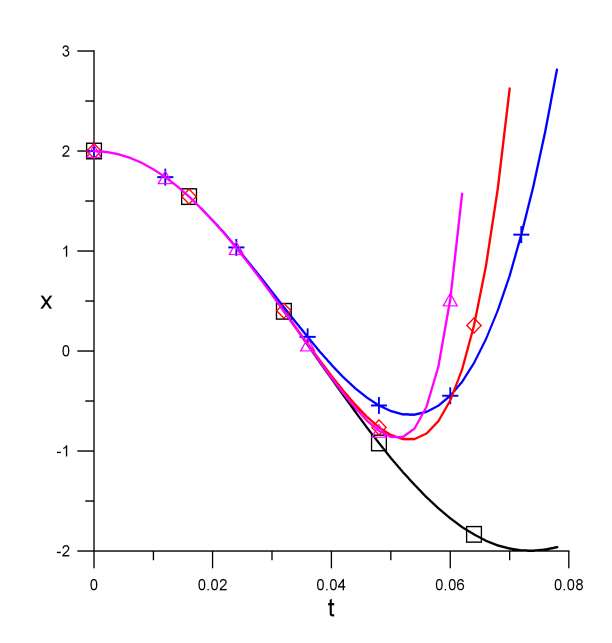


Figura 7.11: Solução no tempo da eq. (7-40) com os seguintes parâmetros:  $x_0 = 2$ , P = 69311, 51, EI = 5672067, q = 0 e m = 1.  $\square$ , RK; +, aproximação com 3 termos;  $\diamondsuit$ , 5 termos;  $\triangle$ , 7 termos.

A figura 7.12 exibe a curva freqüência-deslocamento inicial obtida com algumas aproximações.

### 7.5 Arco sujeito a uma carga constante aplicada de forma súbita

O problema da flambagem dinâmica ou escape de um vale potencial, de um arco abaulado foi estudado por Lin e Bradford (2008) [66] entre outros. Através

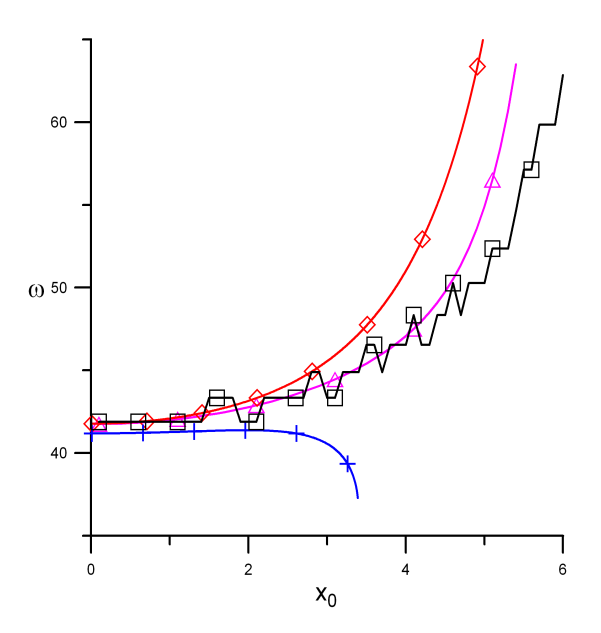


Figura 7.12: Curva freqüência-deslocamento inicial do problema (7-40) com os seguintes parâmetros:  $P=69311,51,\ EI=5672067,\ q=0$  e  $m=1.\ \square,\ RK;$ +, Taylor com três termos;  $\Diamond$ , Taylor com quatro termos;  $\triangle$ , FT com três harmônicos.

do princípio da conservação de energia eles determinaram a carga constanteq, que aplicada de forma súbita, faz com que ocorra a flambagem dinâmica do modelo simplificado da figura 7.13.

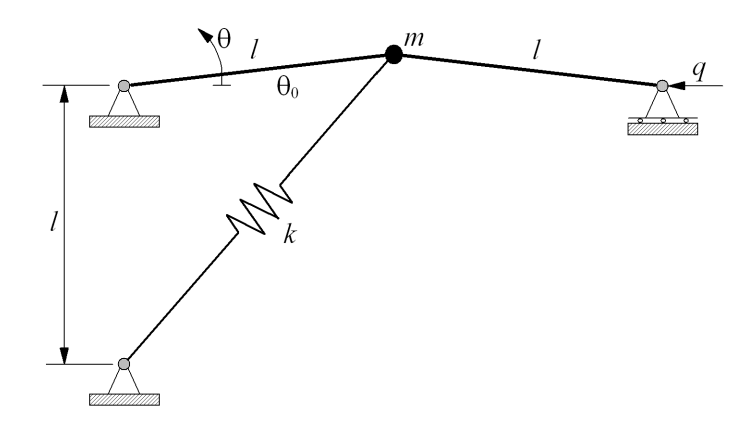


Figura 7.13: Sistema idealizado com um grau de liberdade.

A energia potencial total do problema, escrita na forma adimensional, é dada por

$$\frac{\Pi}{kl^2} = (\sqrt{1 + \sin \theta} - \sqrt{1 + \sin \theta_0})^2 - q(\cos \theta_0 - \cos \theta)$$
 (7-42)

sendo  $\theta_0$  a imperfeição inicial.

A energia cinética adimensional é dada por

$$\overline{T} = \frac{1}{2}\dot{\theta}^2 \tag{7-43}$$

Subtraindo (7-42) de (7-43) tem-se o Lagrangiano. Aplicando o cálculo variacional, encontra-se a seguinte equação de movimento

$$\ddot{\theta} + \frac{\cos \theta}{\sqrt{1 + \sin \theta}} (\sqrt{1 + \sin \theta} - \sqrt{1 + \sin \theta_0}) - q \sin \theta = 0 \tag{7-44}$$

Aplicando o princípio da energia potencial estacionária encontra-se os pontos de equilíbrio correspondentes a cada nível do carregamento horizontal q. Estes pontos de equilíbrio são os atratores das oscilações. Para pequenos valores de carregamento tem-se 3 pontos de equilíbrio, sendo dois estáveis. Assim, a estrutura irá oscilar em torno da configuração de equilíbrio mais próxima da configuração inicial  $\theta_0$ . Já para valores maiores da carga q, tem-se apenas um único ponto de equilíbrio estável, sendo assim, a oscilação ocorre em outro vale potencial e a amplitude da resposta é muito mais ampla, como mostrado nas figuras 7.14(a) e 7.14(b).

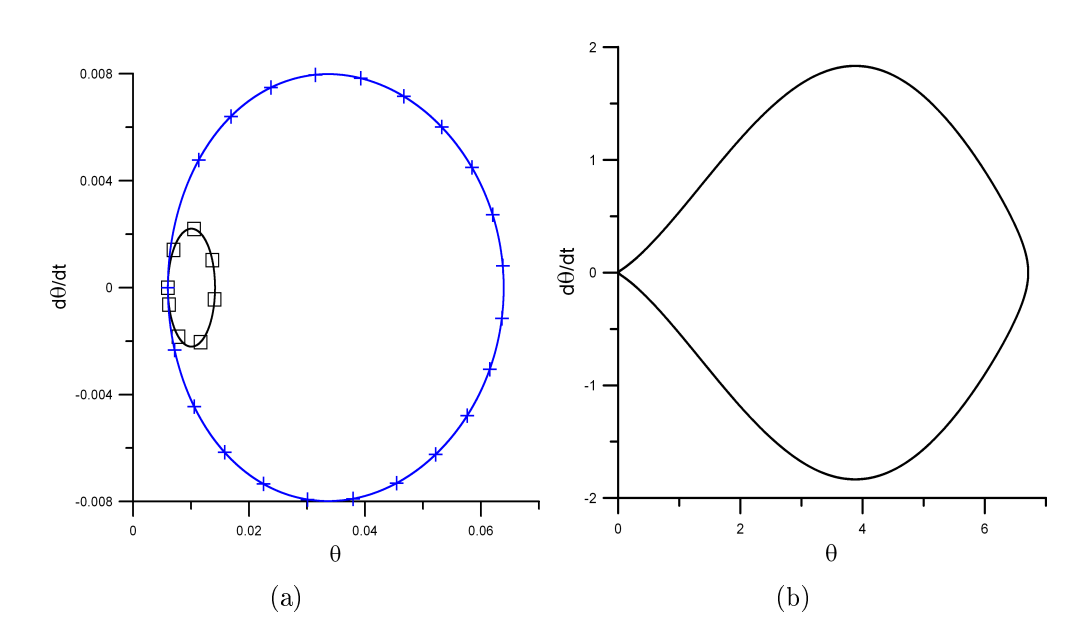


Figura 7.14: Respostas no plano fase: (a)  $\Box$ , q = 0, 2; +, q = 0, 42; (b) q = 0, 6

As soluções aproximadas permitem obter a curva freqüência-deslocamento do problema.

Escrevendo a solução em série de Taylor e considerando que as condições iniciais são  $\theta(0)=\theta_0$  e  $\dot{\theta}(0)=0$ , tem-se

$$\theta(\tau) = \theta_0 + \frac{q}{2}\sin\theta_0\tau^2 + (\frac{q}{48} - \frac{q}{48}(\cos\theta_0)^2 + (\frac{q^2}{24}\cos\theta_0 - \frac{q}{48})\sin\theta_0)\tau^4 + \dots$$
 (7-45)

e aplicando a propriedade de simetria  $\dot{\theta}(T/2) = 0$ , chega-se a seguinte relação freqüência-amplitude,

$$\pi q \delta^3 \sin \theta_0 + \left( (2q \cos \theta_0 - 1) \sin \theta_0 + \left( 1 - (\cos \theta_0)^2 \right) \right) \frac{\pi^3 q}{12} \delta = 0$$
 (7-46)

Já utilizando o FT com a seguinte solução aproximada,

$$\theta(\tau) = c_0 + c_1 \cos \delta \tau + c_2 \cos 2\delta \tau$$

obtém-se

$$\theta(\tau) = \frac{1}{\delta^4} \left( -\frac{1}{8} q(\cos\theta_0)^2 + \frac{1}{4} q^2 \sin\theta_0 \cos\theta_0 + \frac{1}{24} (30q\delta^2 \sin\theta_0 + 24\theta_0 \delta^4 - 3q(\sin\theta_0 - 1)) + \left\{ \frac{1}{6} q(\cos\theta_0)^2 - \frac{1}{3} q^2 \sin\theta_0 \cos\theta_0 - \frac{1}{24} (32q\delta^2 \sin\theta_0 - 4q\sin\theta_0 + 4q) \right\} \cos\delta\tau + \left\{ -\frac{1}{24} q(\cos\theta_0)^2 + \frac{1}{12} q^2 \sin\theta_0 \cos\theta_0 - \frac{1}{24} (-q - 2q\delta^2 \sin\theta_0 + q\sin\theta_0) \right\} \cos2\delta\tau \right)$$
(7-47)

e a seguinte relação freqüência-amplitude

$$\frac{q}{4}(-13(\cos\theta_0)^3 q + 16q^2(\cos\theta_0)^2 \sin\theta_0 - (\cos\theta_0)^2 \sin\theta_0 + 2(\cos\theta_0)^2 - 4q\cos\theta_0 \sin\theta_0 + 13q\cos\theta_0 - 2 - 12q^2\sin\theta_0 + 2\sin\theta_0) 
= -\frac{1}{2}(10q\cos\theta_0 \sin\theta_0 - 5\sin\theta_0 + 8\delta^2\sin\theta_0 - 5(\cos\theta_0)^2 + 5)q\delta^2$$
(7-48)

A figura 7.15 mostra as curvas freqüência-carregamento obtidas com as eqs. (7-46) e (7-48) para  $\theta_0=0,006$  e também soluções de mais alta ordem obtidas com o método de Taylor. Pode-se ver que o FT apresenta resultados coincidentes com a integração numérica tendo apenas dois harmônicos na aproximação enquanto que o método de Taylor precisa de um número bem maior de termos. Também pode-se ver através da solução obtida com integração numérica que em  $q\approx 0,42$  ocorre uma mudança drástica na curva  $\delta-q$ , que é justamente a mudança de vale potencial já mostrada na figura 7.14.

#### 7.6 Equação de Mathieu não-linear

A eq. (5-10), obtida ao se aplicar uma perturbação  $\epsilon$  à solução periódica x(t) da equação de Duffing, será agora utilizada para estudar a estabilidade de x(t).

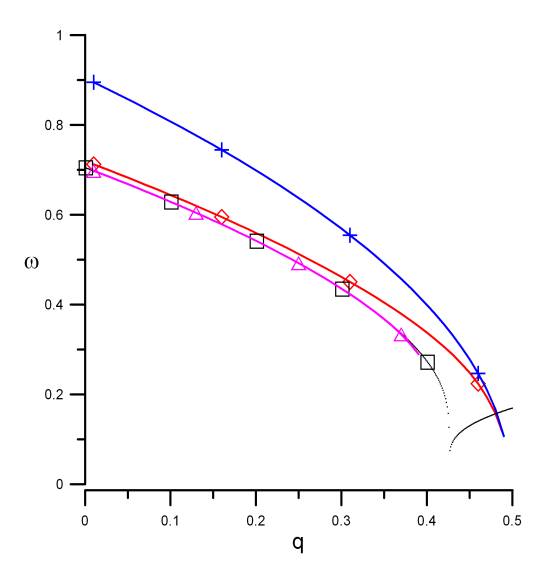


Figura 7.15: Curva freqüência-carregamento.  $\square$ , RK; +, eq. (7-46);  $\lozenge$ , Taylor com 5 termos;  $\triangle$ , eq. (7-48).

Retirando os termos que se anulam em (5-10), tem-se

$$\ddot{\epsilon} + 2\zeta\omega_0\dot{\epsilon} + (\omega_0^2 + 3\beta x^2)\epsilon + 3\beta x\epsilon^2 + \beta\epsilon^3 = 0 \tag{7-49}$$

A eq. (7-49) poderá ter um único ponto fixo localizado em (0,0), ou dois, ou quatro e assim por diante, dependendo dos parâmetros. Assim, quando houver um único ponto fixo, qualquer condição inicial faz com que a perturbação atinja o ponto de equilíbrio (0,0), o que corresponde a solução perturbada  $x(t) + \epsilon(t)$  voltar para sua trajetória x(t), consequentemente x(t) é estável. Quando houver mais de um ponto fixo, após o transiente ser eliminado, a perturbação  $\epsilon$  terá uma trajetória fechada, o que impede, portanto, que  $x(t) + \epsilon(t)$  volte para sua trajetória x(t) original. Nestes casos, a trajetória x(t) é dita instável. Desta forma, as incógnitas do problema (7-49) são as coordenadas  $\epsilon_0$  e  $v_0$  do ponto fixo associado a trajetória de  $\epsilon(t)$  e a freqüência da resposta,  $\omega$ .

Para a análise da estabilidade das soluções periódicas do problema

$$\ddot{x} + \omega_0^2 x + \beta x^3 = F \cos \Omega t \tag{7-50}$$

será primeiramente utilizado o HBM para se obter as soluções periódicas, pois a solução com um único harmônico já apresenta grande precisão para a região de primeira ressonância.

Apesar de (7-50) não ser amortecida, na equação da perturbação será inserido um amortecimento  $\zeta=0.1$  apenas para que as respostas em  $\epsilon$  sejam trajetórias periódicas ou assintoticamente estáveis.

Para os parâmetros  $\omega_0 = 1$ ,  $\beta = 1$ , F = 1 e  $\Omega = 2$ , as soluções da eq. (7-50)

são,

$$x_1(t) = 2,14949\cos 2t\tag{7-51}$$

$$x_2(t) = -1,80603\cos 2t\tag{7-52}$$

$$x_3(t) = -0,34346\cos 2t\tag{7-53}$$

Sabendo-se que as trajetórias (7-51) e (7-53) são estáveis e que (7-52) é instável, o que se espera é que seja obtido um ponto fixo somente para a trajetória (7-52).

Utilizando o FT com uma solução contendo três pares de harmônicos,

$$\epsilon(t) = c_1 \cos \omega t + d_1 \sin \omega t + c_3 \cos 3\omega t + d_3 \sin 3\omega t + c_5 \cos 5\omega t + d_5 \sin 5\omega t$$

$$(7-54)$$

as primeiras equações envolvendo  $\epsilon$  e suas derivadas são utilizadas para montar o sistema linear que fornece as amplitudes  $c_i$  e  $d_i$  presentes em (7-54). As demais equações são não-lineares em  $\epsilon_0$ ,  $v_0$  e  $\omega$ , incógnitas que são obtidas iterativamente.

Ao se estudar a estabilidade da trajetória dada por (7-52), obtém-se

$$\epsilon_0 = 1,4341$$

$$v_0 = -0,4137$$

$$\omega = 2,0234$$
(7-55)

e

$$\epsilon(t) = 1,393790160\cos\omega t - 0,199121037\sin\omega t + 0,040367228\cos3\omega t - 0,001837654\sin3\omega t + (7-56)$$

$$0,000031505\cos5\omega t + 0,000035855\sin5\omega t$$

Já ao se utilizar uma aproximação com 5 pares de harmônicos em (7-54), obtém-se

$$\epsilon_0 = 1,4718$$

$$v_0 = -0,4149$$

$$\omega = 1,9999$$
(7-57)

 $\mathbf{e}$ 

$$\epsilon(t) = 1,429458773\cos\omega t - 0,201623570\sin\omega t + 0,042296489\cos3\omega t - 0,002021651\sin3\omega t +$$

 $0,000031489\cos 5\omega t + 0,000050007\sin 5\omega t - \\ 0,000002798\cos 7\omega t - 0,000001095\sin 7\omega t + \\ 0,000000061\cos 9\omega t - 0,000000011\sin 9\omega t \tag{7-58}$ 

A figura 7.16 mostra no espaço de fase as trajetórias dadas através das eqs. (7-56), (7-58) e a trajetória obtida com a integração numérica da eq. (7-49), tendo como condições iniciais  $\epsilon_0$  e  $v_0$  dados em (7-57) e x(t) sendo dado por (7-52). Pode-se ver que a integração numérica também fornece uma trajetória fechada, sendo coincidente com a aproximação que possui cinco pares de harmônicos.

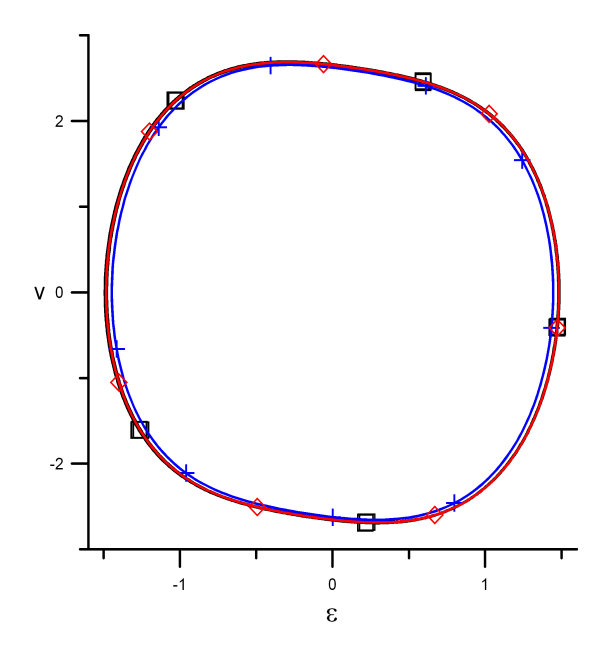


Figura 7.16: Espaço de fase do problema  $\ddot{\epsilon} + 0, 2\dot{\epsilon} + (1+9,78519(\cos 2t)^2)\epsilon - (5,41808\cos 2t)\epsilon^2 + \epsilon^3 = 0$ .  $\square$ , RK; +, FT com três pares de harmônicos;  $\diamondsuit$ , FT com cinco pares de harmônicos.